

Series de suelos de la Provincia de Buenos Aires

Estancia Santa Ana (ESA)

Descripción

Es un suelo profundo, algo excesivamente drenado que se ha desarrollado a partir de sedimentos eólicos de textura franco arenosa. Ocupa las crestas y medias lomas de relieves medanosos y se mezcla con otros suelos de las áreas planas asociadas. Presentan escaso desarrollo que presentan un horizonte superficial de 25 cm, oscuro, de textura franca con 23 % de arcilla y casi 50 % de arenas; bien estructurado y bien provisto de materia orgánica (A). A esta capa arable le sigue en profundidad un horizonte transicional (AC), franco a franco arenoso con poca materia orgánica, que gradualmente pasa a los materiales originarios (C), los cuales aparecen a los 60 cm de profundidad y contienen un 60 % de arenas.

Los suelos de esta serie son de reacción ligeramente ácida y pueden presentarse levemente afectados por erosión. Son moderadamente fértiles y las limitaciones de uso que presentan se derivan de su naturaleza arenosa. Si bien la capa arable posee un buen contenido de materia orgánica, la misma decrece muy rápidamente en profundidad dejando al suelo con muy escasos recursos energéticos a partir de los 25-30 cm. Una baja capacidad de retención de la humedad hace a estos suelos susceptibles a la falta de agua, mientras que la pobre estabilidad estructural los hace propensos a la erosión y a las "voladuras".

Clasificación taxonómica: Hapludol éntico, franca gruesa, mixta, termica.

Ubicación del perfil: Latitud S: 34° 13' 21". Longitud W: 62° 7' 20". Altitud 121 msnm, a 13 km al NNW de la Estación San Gregorio (FCGB), departamento General López, provincia de Santa Fe; mosaico IGM 3563-5-4, San Gregorio.

Drenaje y permeabilidad: Algo excesivamente drenado, escurrimiento muy lento, permeabilidad rápida.

Uso y vegetación: *Cirsium vulgare* (cardo negro), *Centheus echinatus* (roseta), *Distichlis* sp. (pelo de chancho).

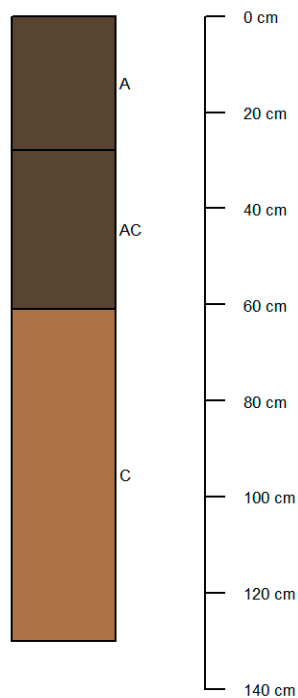
Capacidad de uso: III es

Limitaciones de uso: Baja capacidad de retención de humedad, peligro de erosión eólica.

Índice de productividad según la región climática: 60 (C), 57 (D)

Descripción del perfil típico:

2 C



A 0-28 cm; pardo grisáceo muy oscuro (10YR 3/2) en húmedo; franco; estructura en bloques subangulares medios, moderados; friable en húmedo; ligeramente plástico y ligeramente adhesivo; límite claro, ondulado.

AC 28-61 cm; pardo grisáceo muy oscuro (10YR 3/2) en húmedo; franco; estructura en bloques subangulares finos débiles; friable en húmedo; ligeramente plástico y ligeramente adhesivo; límite inferior gradual y ondulado.

C 61-130 cm; pardo (7.5 YR 5/5) en húmedo; franco; estructura masiva; muy friable en húmedo.

Cuadro 1: Datos analíticos de laboratorio

| Horizontes | A | AC | C |
|---------------------------------|-------|-------|-------|
| Profundidad (cm) | 5-15 | 35-50 | 75-90 |
| Materia Orgánica (%) | 2.81 | 0.36 | 0.07 |
| Carbono Orgánico (%) | 1.63 | 0.21 | 0.04 |
| Nitrógeno (%) | 0.187 | - | - |
| Relación C/N | 9 | - | - |
| Arcilla <2 μ (%) | 23.9 | 20.2 | 14.3 |
| Limo 2-20 μ (%) | - | - | - |
| Limo 2-50 μ (%) | 26.0 | 25.1 | 22.0 |
| AMF 50-75 μ (%) | 12.5 | 13.3 | 12.0 |
| AMF 75-100 μ (%) | 32.0 | 35.5 | 44.0 |
| AMF 50-100 μ (%) | 44.5 | 48.8 | 56.0 |
| AF 100-250 μ (%) | 5.5 | 5.9 | 7.7 |
| AM 250-500 μ (%) | 0.1 | - | - |
| AG 500-1000 μ (%) | - | - | - |
| AMG 1-2 mm (%) | - | - | - |
| Calcáreo (%) | - | - | - |
| Equivalente de Humedad (%) | 20.3 | 16.8 | 13.3 |
| Re. pasta. (Ohms/cm) | - | - | - |
| Conductividad eléctrica (mS/cm) | - | - | - |
| pH en pasta de saturación | 6.2 | 6.4 | 6.9 |
| pH H ₂ O (1:2.5) | 6.7 | 7.2 | 7.5 |
| pH KCL (1:2.5) | - | - | - |
| Cationes de Cambio | | | |
| Ca ⁺⁺ m.eq./100gr | 10.5 | 7.7 | 7.3 |
| Mg ⁺⁺ m.eq./100gr | 2.3 | 3.4 | 3.5 |
| Na ⁺ m.eq./100gr | 0.5 | 0.3 | 0.3 |
| K ⁺ m.eq./100gr | 3.5 | 2.5 | 1.1 |
| H ⁺ m.eq./100gr | 6.9 | 3.9 | 2.4 |
| PSI (%) | - | - | - |
| Agua de Saturación (%) | - | - | - |
| Suma de bases [cmol(+)/kg] (S) | 16.8 | 13.9 | 12.2 |
| CIC [cmol(+)/kg] (T) | 18.4 | 14.4 | 11.8 |
| Saturación de bases (%) (S/T) | 91 | 95 | 100 |
| % de Saturación (S+H) | - | - | - |